

## بررسی ویژگی‌های ساختاری و الکتریکی لایه‌های نازک پنتاکسید وانادیوم آلاییده با ایندیوم تهیه شده به روش گرما کافت افشارهای

راحله پیلهور شهری، سونیا شافعی، شکوفه طباطبائی یزدی\*

گروه فیزیک، دانشگاه پیام نور، تهران، ایران

(دریافت مقاله: ۹۸/۵/۲۶، نسخه نهایی: ۹۸/۲/۱۴)

**چکیده:** نانوساختارهای پنتاکسید وانادیوم آلاییده با درصدهای وزنی مختلف ایندیوم (۰، ۱۰، ۲۰ و ۳۰ at.% در محلول) به روش گرما کافت افشارهای (اسپری پایرولیزیز) تهیه شدند. لایه‌های نازک تهیه شده به کمک پراش پرتو ایکس (XRD)، تصویربرداری با میکروسکوپ الکترونی روشنی (SEM) و آزمایش اثر هال مشخصه‌یابی شدند. نتایج XRD نشان داد که لایه‌های نازک در فاز چارگوشی بلوری می‌شوند. افزایش مقدار ایندیوم به شدت منجر به افزایش بینظمی نانوساختارها و کاهش اندازه بلورک‌ها شده به طوری که اندازه بلورک‌ها با افزودن ۳۰٪ وزنی ایندیوم به پنتاکسید وانادیوم تا بیش از ۵۰٪ نسبت به نمونه خالص کاهش یافته است. تصاویر SEM لایه‌ها را نانوساختارهای تک‌فاز تشکیل شده از نانومیله و نانوتسممه‌هایی با پهنای متوسط ۵۰–۱۰۰ nm نشان داد. اندازه‌گیری‌های اثر هال نشان داد که نمونه‌های مورد بررسی همه نیمرسانی نوع n هستند و مقاومت آنها با افزایش ایندیوم افزایش یافته است که این را نیز می‌توان به افزایش بیننظمی ساختاری نمونه‌ها نسبت داد.

**واژه‌های کلیدی:** نانوساختارهای پنتاکسید وانادیوم؛ اسپری پایرولیزیز؛ لایه نازک نیمرسانی شفاف.

وانادیوم یک نیمرسانی نوع n با گاف نوری مستقیم و پهن حدود ۲/۴ الکترون ولت در ناحیه مرئی طیف بوده [۶]، دارای ساختار لایه‌ای، پایداری شیمیایی و گرمایی خوبی است و از این‌رو برای کاربردهای اپتوالکترونیک، از جمله آشکارسازی نوری و کلیدزنی فوتوالکتریکی سریع مورد توجه است [۷,۸]. دیده شده است که ویژگی‌های مختلف  $V_2O_5$  با ورود برخی کاتیون‌های مهمان تغییر می‌کند. از این‌رو، پژوهشگران به طور گسترده بر ساخت و مشخصه‌یابی الکتریکی، اپتیکی، الکتروشیمیایی و الکتروکرومیک لایه‌های نازک  $V_2O_5$  در حضور آلاینده‌هایی چون نیکل، منگنز، فلورئور، تیتانیوم، تانتالوم، گوگرد، قلع، منیزیوم و مولیبدن متوجه شده‌اند. برای مثال، گزارش شده است که افزودن Ag، Al، Cu، Na و Fe به  $V_2O_5$  باعث بهبود ویژگی‌های الکتروشیمیایی آن می‌شود [۹-۱۳]. همچنین دیده شده است که اکسیدهای وانادیوم

مقدمه

اکسیدهای وانادیوم با ظرفیت‌های گوناگون خود شامل  $V_2O_5$  و  $V_2O_3$  به دلیل داشتن ویژگی‌های جالب‌توجه از جمله گاف نوری به نسبت بزرگ، ساختار لایه‌ای، پایداری گرمایی و شیمیایی خوب، خواص برجسته الکتروکرومیک، ترموکرومیک و ترموالکتریکی، بسیار مورد توجه پژوهشگران هستند [۱,۲]. این ترکیبات بهویژه در حالت لایه نازک ماده مناسبی برای کاربردهای صنعتی چون حسگرهای گازی، سیستم‌های نمایشگر، وسایل کلیدزنی اپتیکی و الکتریکی، قطعات الکتروکرومیک، صافی‌های رنگی و پنجره‌های هوشمند هستند [۳-۵] و از این‌رو در سال‌های اخیر موضوع پژوهش‌های گسترده‌ای بوده‌اند. در میان ترکیبات مختلف اکسید وانادیوم، پنتاکسید وانادیوم،  $V_2O_5$ ، اکسید اشباع شده با بالاترین حالت اکسایشی و پایدارترین آنهاست. پنتاکسید

\*نویسنده مسئول. تلفن: ۰۵۱۳۸۷۶۳۶۴۷. پست الکترونیکی: sh\_tabatabai3@yahoo.com

دستگاه D8-Advance Bruker Cu-K $\alpha$  با طول موج ۱۵۴۰۶ نانومتر تهیه شد. برای بررسی ریزساختار نمونه‌ها از LEO1450VP مدل (SEM) میکروسکوپ الکترونی روبشی (EDX) مجهز به طیف‌سنج انرژی پاشیده پرتوی ایکس استفاده شد. مشخصه‌های الکتریکی لایه‌ها نیز به کمک آزمایش اثر هال بر نمونه‌های الکترودگذاری شده با آلومینیوم به روش تبخیر گرمایی انجام شد.

#### بحث و بررسی

##### مشخصه‌های ساختاری لایه‌ها

شکل ۱ الگوهای پراش پرتو ایکس نانوساختارهای پنتاکسید وانادیوم آلاییده با درصدهای وزنی متفاوت ایندیوم را نشان می‌دهد. چهار قله آشکار شده در الگوهای XRD، هرچند برحی شدت کمی دارند، با قله‌های برآگ (۲۰۰)، (۲۴۰)، (۴۰۰) گزارش شده برای فاز چارگوشی  $\beta$ -V<sub>2</sub>O<sub>5</sub> (کارت JCPDS به شماره ۱۰۷۴-۰۰۰-۴۵-۱۰۷۴) و کارهای دیگران [۲۰] همخوانی دارند. هیچ قله‌ای مربوط به مواد اولیه یا فاز ثانویه در طیف‌های XRD دیده نمی‌شود که نشان‌دهنده تشکیل لایه‌های بسبلور تکفاز  $\beta$ -V<sub>2</sub>O<sub>5</sub> با ساختار چارگوشی است. چنانکه دیده می‌شود، ساختار لایه‌ها با افزودن ایندیوم حتی تا ۳۰٪ وزنی تغییر نکرده است. بیشتر بودن شدت قله پراشی (۲۰۰) در نمونه پنتاکسید وانادیم خالص و نمونه‌های آلاییده با ایندیوم تا ۲۰٪ وزنی رشد این نمونه‌ها در راستای ترجیحی (۲۰۰) و تشکیل یک ساختار لایه‌ای را نشان می‌دهد. در حالی که ایندیوم ساختار بلوری لایه‌ها را تغییر نداده اما اثر افزودن ایندیوم به صورت کاهش قابل ملاحظه شدت این قله پراشی و به عبارتی، افت بلورینگی دیده می‌شود. کاهش نظم بلوری را می‌توان با انتقال انتمهای وانادیوم به جایگاه‌های بین‌شبکه‌ای در اثر افزایش جانشانی ایندیوم توضیح داد. افزون بر این، اثر افزودن ایندیوم به صورت تغییر تدریجی راستای آسان رشد از (۲۰۰) به سمت (۲۴۰) نیز آشکار شده است. در لایه‌های با مقدار آلاییده کم (کمتر از ۲۰٪ وزنی)، قله (۲۰۰) غالباً است که به نظم بهتر اتم‌ها در این صفحه اشاره دارد. با افزایش مقدار ایندیوم، شدت قله (۲۰۰) و به عبارتی توزیع فضایی سمت-گیری بلورک‌ها در راستای (۲۰۰) کاهش می‌یابد، به طوری که قله‌های (۲۰۰)، (۲۴۰) و (۲۴۱) با شدت نزدیک به هم ظاهر می‌شوند. این نشان‌دهنده وجود صفحات ارجح برای اشغال توسط اتم‌های ایندیوم است.

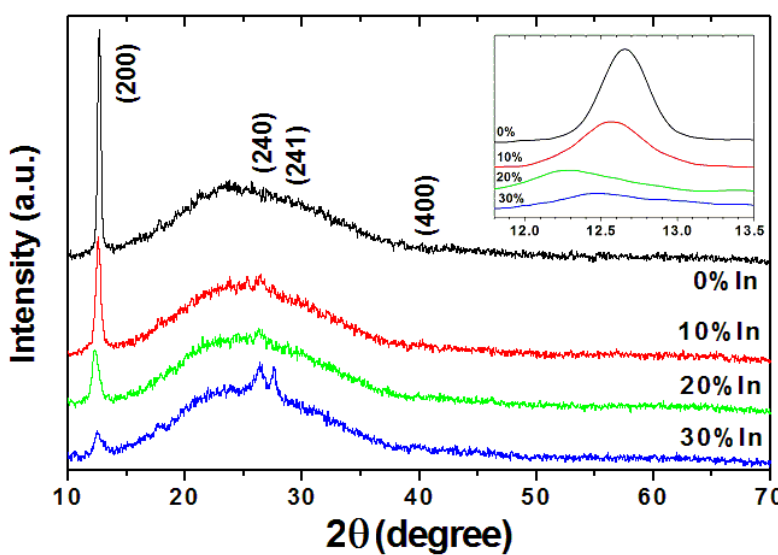
آلاییده با Ag و Na گاف نواری کمتری نسبت به V<sub>2</sub>O<sub>5</sub> دارند [۱۳]. یو و همکاران تاثیر ناخالصی منگنز را بر لایه‌های نازک پنتاکسید وانادیوم به کار رفته در باتری‌های لیتیوم بررسی نمودند و افزایش بازده در حضور ناخالصی را مشاهده کردند [۱۴]. جیلاکشمی و همکاران ویژگی‌های ساختاری و الکتروشیمیایی لایه‌های نازک V<sub>2</sub>O<sub>5</sub> را در حضور ناخالصی نیکل بررسی نمودند و بهبود ۲۰ درصدی ظرفیت خازنی و چگالی انرژی را مشاهده کردند [۱۵]. جاسم و همکاران نیز رسانش الکتریکی و اپتیکی لایه‌های نازک V<sub>2</sub>O<sub>5</sub> در حضور ناخالصی Ce را آزمایش کردند [۱۶]. اعتمادی و همکاران پنتاکسید وانادیوم با ناخالصی سریوم را به روش سل ژل تهیه نمودند و نشان دادند که افزایش ناخالصی سریوم باعث بهبود رفتار الکتروشیمیایی V<sub>2</sub>O<sub>5</sub> می‌شود [۱۷]. موسوی و همکاران نیز ویژگی‌های فیزیکی مختلف لایه‌های نازک پنتاکسید وانادیوم در حضور آلاینده‌های گوگرد و فلورور را بررسی کردند [۱۸، ۱۹].

بر اساس بررسی‌های انجام شده، تا کنون پنتاکسید وانادیوم در حضور ناخالصی ایندیوم تهیه و بررسی نشده است. در این پژوهش برای نخستین بار، پنتاکسید وانادیوم آلاییده با ایندیوم به روش گرما کافت افسانه‌ای (اسپری پایرولیز) که یک روش به نسبت ساده و مقرون به صرفه است تهیه شد و اثر In بر ویژگی‌های ساختاری و الکتریکی این ترکیب بررسی گردید.

#### روش تجربی

در این پژوهش، لایه‌های نازک پنتاکسید وانادیوم خالص و آلاییده با ایندیوم (۰، ۱۰، ۲۰ و ۳۰ at.% در محلول) به روش تجزیه گرمایی افسانه‌ای (اسپری پایرولیز) نهشته شدند. برای تهیه محلول اولیه ۰.۱ مولار، مقدار مناسب کلرید وانادیوم (VCl<sub>4</sub>) در آب مقطر به خوبی حل شد و به منظور اتحال بهتر، چند قطره اسید هیدروکلریک (HCl) به محلول اضافه شد. پس از تهیه محلول پایه، ایندیوم با درصدهای وزنی ۱۰، ۲۰ و ۳۰ به آن اضافه شد. محلول‌ها با آهنگ ml/min ۵ بر لامهای شیشه‌ای بر صفحه چرخان با سرعت ۴۵ دور در دقیقه و دمای ۴۳۰ °C در فاصله ۳۵ cm از نازل پاشیده شدند. به منظور لایه‌نشانی یکنواخت‌تر، از هوا با فشار ۲.۵ atm به عنوان گاز حامل استفاده شد.

به منظور بررسی فاز و ساختار بلوری لایه‌ها، طیف پراش پرتو ایکس (XRD) نمونه‌ها در گستره زاویه‌ای ۰-۷۰° با



شکل ۱ طیف XRD لایه‌های پنتا اکسید وانادیوم با درصدهای مختلف ایندیوم. تصویر داخلی نمای بزرگ‌شده قله (۲۰۰) در گستره  $2\theta = 11.8\text{--}13.5^\circ$  را نشان می‌دهد.

های  $\text{V}_2\text{O}_5$  تهیه شده نانوبولورین هستند و متوسط اندازه دانه‌های آنها  $11\text{--}25\text{ nm}$  است. اندازه متوسط بلورک‌ها که به این ترتیب برآورده شده‌اند در جدول ۱ ارائه شده است. دیده می‌شود که افزودن ایندیوم به لایه‌های پنتا اکسید وانادیوم موجب کاهش اندازه بلورک‌ها و به عبارتی مانع رشد بلور شده است. اعتقادی و همکاران نیز کاهش اندازه بلورک‌های  $\text{V}_2\text{O}_5$  را با آلایش یون سربیوم مشاهده کردند [۱۷].

چگالی دررفتگی‌ها (طول دررفتگی در واحد حجم) که معیاری از مقدار نقایص بلوری است از رابطه  $\delta = 1/D^2$  محاسبه شد. مقادیر به دست آمده در جدول ۱ گزارش شده‌اند. دیده می‌شود که با افزایش مقدار ایندیوم، چگالی دررفتگی‌ها در لایه‌ها افزایش می‌یابد که این با کاهش اندازه بلورک‌ها و به عبارتی افت بلورینگی همخوانی دارد.

با توجه به شکل ۱، دیده می‌شود که با افزایش مقدار ایندیوم، افزون بر کاهش شدت قله پراش اصلی (۲۰۰)، پهنای آن نیز افزایش یافته است. افزایش پهنای قله به کاهش اندازه بلورک‌ها اشاره دارد. میانگین اندازه بلورک‌ها (D) بر اساس داده‌های طیف‌های XRD و با استفاده از رابطه شرر تعیین شد [۲۱]:

$$D = \frac{K\lambda}{\beta \cos\theta} \quad (1)$$

که در این رابطه، K ثابت شرر یا ضریب شکل بلور است که در اینجا  $0.9$  در نظر گرفته شد و  $\lambda$  طول موج پرتو ایکس به کار رفته مربوط به تابش  $\text{CuK}\alpha$  برابر با  $0.154\text{ nm}$  است.  $\theta$  زاویه یک پراش اصلی (در اینجا  $20^\circ$ ) و  $\beta$  پهنای آن قله در نیماتقانع بیشینه بر حسب رادیان است. به این ترتیب، دیده شد که لایه

جدول ۱ داده‌های XRD و مشخصه‌های ساختاری لایه‌های نازک پنتا اکسید وانادیوم آلاییده با مقدارهای مختلف ایندیوم.

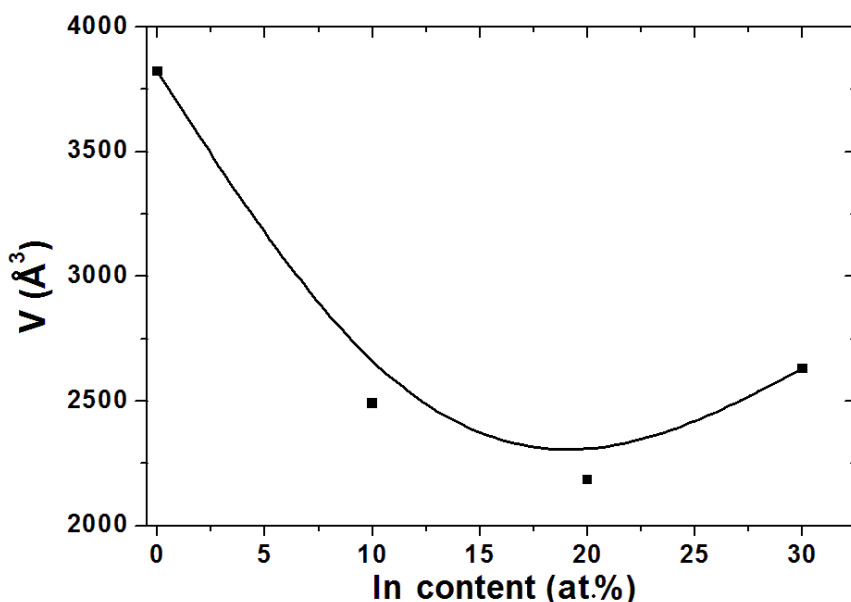
$V(\text{\AA})$	$a(\text{\AA})$	$c(\text{\AA})$	$\delta(\text{line}/\text{\AA}^2)$	D (nm)	d (Å)	$2\theta (\text{)}^\circ$	hkl	نمونه
$3822.83$	$a=13.98$			$25$	$6.99$	$12.7$	(200)	$\text{V}_2\text{O}_5$
	$c=19.56$		$0.498$		$3.09$	$28.9$	(241)	
$2490.40$	$a=14.27$			$17$	$7.13$	$12.4$	(200)	$\text{V}_2\text{O}_5:\text{In}\ 10\text{ at.\%}$
	$c=12.23$		$1.050$		$3.09$	$28.9$	(241)	
$2183.60$	$a=14.38$			$13$	$7.19$	$12.3$	(200)	$\text{V}_2\text{O}_5:\text{In}\ 20\text{ at.\%}$
	$c=10.56$		$2.022$		$3.08$	$29.0$	(241)	
$2628.93$	$a=14.15$			$11$	$7.08$	$12.5$	(200)	$\text{V}_2\text{O}_5:\text{In}\ 30\text{ at.\%}$
	$c=13.13$		$2.532$		$3.08$	$29.0$	(241)	

آورده شده و تغییرات آن بر حسب مقدار ایندیوم در ساختار  $V_2O_5$  در شکل ۲ رسم شده است. چنانکه دیده می‌شود با آلایش ایندیوم، نخست حجم یاخته یکه کاهش می‌باید تا در لایه  $V_2O_5$  با حدود ۲۰٪ وزنی ایندیوم کمینه می‌شود و سپس با آلایش بیشتر لایه‌ها (تا ۳۰٪ وزنی) حجم یاخته یکه آنها افزایش می‌باید. این رفتار که برای لایه‌های  $SnO_2$  آلاییده با  $Cr$  نیز دیده شده است [۲۳] می‌تواند به تفاوت سازوکارهای جانشانی ایندیوم در ساختار  $V_2O_5$  برای مقادیر کمتر (کمتر از ۲۰٪ وزنی) و بیشتر ایندیوم اشاره داشته باشد. ایندیوم دارای حالت اکسایشی  $^{+3}$  است؛ جانشانی  $V^{+5}$  با آن، منجر به حذف برخی یون‌های اکسیژن از ترکیب برای ایجاد تعادل بار الکتریکی می‌شود. از آنجا که یون اکسیژن (با شاعر یونی  $\text{Å}^{-1/42} - 1/35$ ) بزرگتر از یون‌های وانادیم ( $\text{Å}^{-0.54}$ ) و ایندیوم ( $\text{Å}^{-0.80}$ ) است [۲۴]، این امر می‌تواند موجب کاهش حجم شبکه شود. این در حالی است که دلیل انبساط جزئی شبکه در اثر آلایش مقادیر بیشتر ایندیوم (بیش از ۲۰٪ وزنی) می‌تواند اشغال جایگاه‌های بین‌شبکه‌ای باشد. از طرفی، تهیجاها ای اکسیژن ایجاد شده در اثر ورود یون‌های ایندیوم می‌توانند منجر به بنی‌نظمی ساختاری شوند که انبساط یک نتیجه احتمالی آن است.

اثر دیگر آلایش ایندیوم در لایه‌های  $V_2O_5$  از نمای بزرگ-شده قله‌های پراشی به صورت جابه‌جایی جزئی زاویه پراش روشن می‌شود. تصویر داخلی شکل ۱ نمای بزرگ‌شده قله پراشی اصلی (۲۰۰) را در گستره زاویه‌ای  $11.8-13.5^\circ = 2\theta$  نشان می‌دهد. چنانکه دیده می‌شود، با افزودن ایندیوم به ساختار  $V_2O_5$ ، قله‌های پراشی نخست (تا ۲۰٪ وزنی) کمی به سمت زاویه‌های کوچکتر و سپس با افزایش بیشتر ایندیوم (بیش از ۲۰٪ وزنی) به سمت زاویه‌های بزرگ‌تر جابه‌جا می‌شوند. تغییر در مکان قله‌ها نشان‌دهنده تغییر در فواصل بین-صفحه‌ای (d) یا به عبارتی تغییر در حجم یاخته بلوری است. این بدین معناست که با آلایش ایندیوم، نخست حجم یاخته یکه کاهش می‌باید تا در لایه  $V_2O_5$  با حدود ۲۰٪ وزنی ایندیوم کمینه می‌شود و سپس با آلایش بیشتر لایه‌ها (تا ۳۰٪ وزنی) حجم یاخته یکه آنها افزایش می‌باید. ثابت‌های شبکه a و c نمونه‌های مورد بررسی بر اساس فاصله دسته صفحات با شاخص میلر (hkl) با استفاده از رابطه زیر محاسبه شدند [۲۰]:

$$\frac{1}{d^2} = \frac{h^2 + k^2 + l^2}{a^2 + c^2} \quad (2)$$

ثبت‌های شبکه بلوری لایه‌های  $V_2O_5$  خالص و آلاییده با ایندیوم در جدول ۱ ارائه شده‌اند. حجم یاخته یکه چارگوشی نیز بر اساس  $V = a^2c$  محاسبه شد که مقادیر آن در جدول ۱



شکل ۲ تغییرات حجم یاخته یکه در لایه‌های پنتا اکسید وانادیوم با مقادیر مختلف ایندیوم.

الکترون‌ها هستند که چگالی آنها با اندازه‌گیری ولتاژ هال ( $V_H$ ) و با استفاده از رابطه زیر تعیین شد [۲۵]:

$$V_H = \frac{IB}{e n t} \quad (3)$$

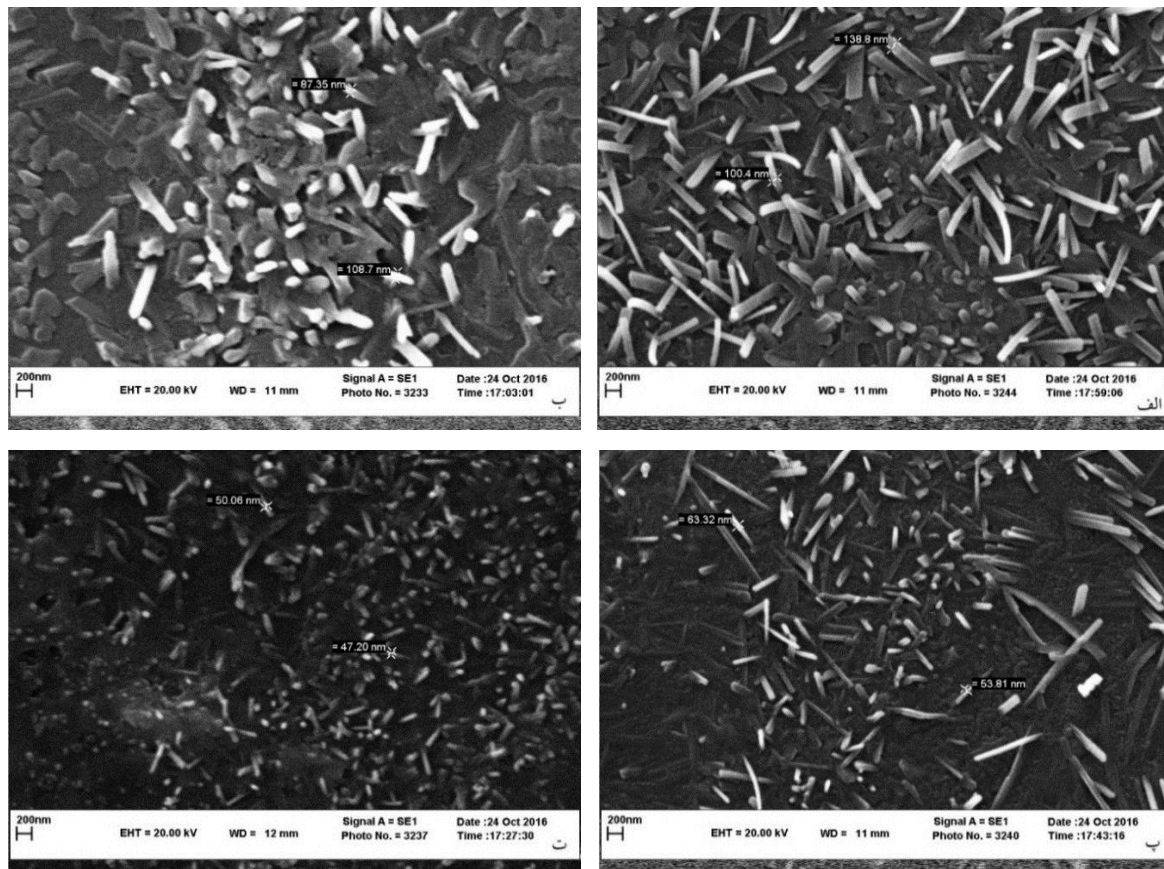
در این رابطه،  $n$  چگالی حامل‌ها،  $I$  جریان الکتریکی طولی،  $B$  میدان مغناطیسی اعمالی، در اینجا  $T = ۰,۵$  و  $e$  ضخامت لایه و  $t$  بار الکتریکی الکtron است. ضخامت لایه‌ها بر اساس اندازه‌گیری‌های اپتیکی تعیین شد (در آینده منتشر خواهد شد) که مقادیر بدست آمده در جدول ۲ ارائه آورده شده‌اند. چگالی الکترون‌ها به همراه مقاومت ورقه‌ای ( $R_s$ ) و مقاومت ویژه ( $\rho$ ) لایه‌ها که به روش دوسوزنی استاندارد در دمای اتاق اندازه‌گیری شدند در جدول ۲ ارائه شده‌اند. دیده می‌شود که مقاومت ویژه نمونه‌ها با افزایش درصد وزنی آلاینده ایندیوم افزایش می‌یابد که این را می‌توان به افزایش بی‌نظمی ساختاری، در نتیجه کاهش اندازه دانه‌ها و بی‌شکل (آمورف شدن) ساختار نسبت داد.

### ریخت‌شناصی و تجزیه عنصری سطح لایه‌ها

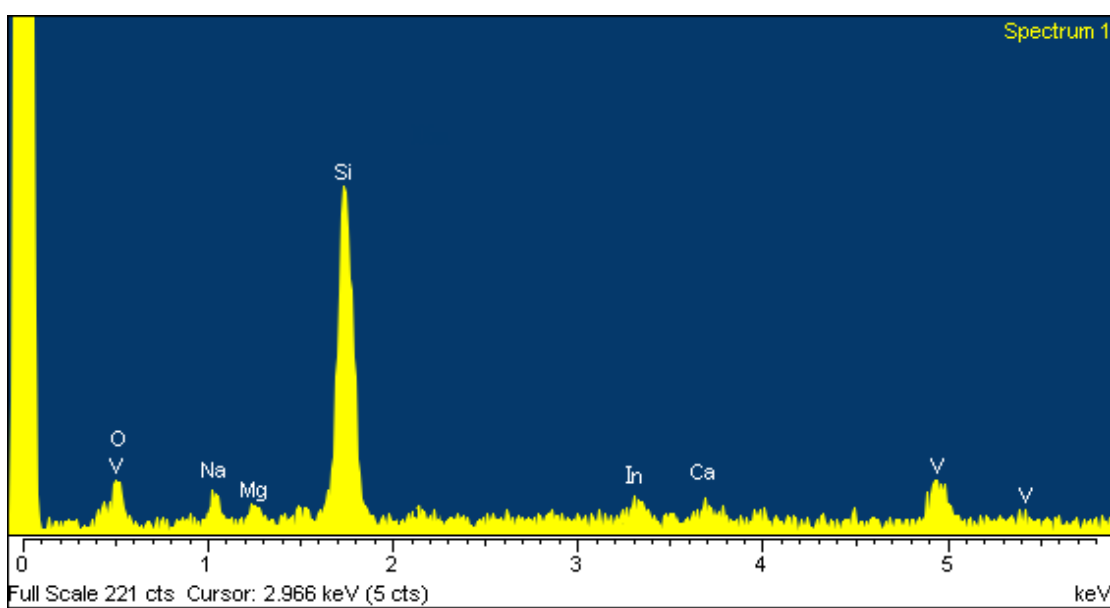
تصاویر تهیه شده از سطح لایه‌های با مقادیر مختلف ایندیوم با میکروسکوپ الکترونی روبشی در شکل ۳ آورده شده‌اند. این تصاویر اثر افزودن ایندیوم به ساختار را به صورت افزایش بی‌نظمی نشان می‌دهند. چنانکه دیده می‌شود، لایه‌ها از نانوساختارهایی به شکل نانومیله و نانوتسممه تشکیل شده‌اند که با افزایش ناخالصی، اندازه نانومیله‌ها و نانوتسممه‌ها کاهش یافته و پهنای متوسط آنها از ۵۰ نانومتر رسیده است. طیف‌های EDX لایه‌ها با نشان دادن قله‌های مربوط به  $V$ ,  $O$  و  $In$ , تشکیل فاز  $V_2O_5:In$  را تأیید می‌کنند. طیف DX مربوط به لایه پنتاکسید وانادیوم آلاینده با ۳۰٪ وزنی ایندیوم، برای نمونه، در شکل ۴ آورده شده است.

### ویژگی‌های الکتریکی لایه‌ها

با انجام آزمایش هال مشخص شد که لایه‌های مورد بررسی همه نیمرسانای نوع  $n$  بوده و حامل‌های بار اکثربت آنها



شکل ۳ تصاویر SEM لایه‌های پنتاکسید وانادیوم (الف) خالص، (ب) با ۳۰٪ درصد وزنی ایندیوم.



شکل ۴ طیف EDX لایه پنتاکسید وانادیوم با ۳۰ درصد وزنی ایندیوم در محلول.

جدول ۲ ویژگی‌های الکتریکی لایه‌های نازک پنتاکسید وانادیوم آلایده با مقدار مختلف ایندیوم، به همراه ضخامت آنها.

$n(10^{20} m^{-3})$	$\rho(\Omega \cdot cm)$	$R_s(\Omega)$	$t(nm)$	نمونه
۳/۳	۳۲۶۲	$1.4 \times 10^6$	۲۳۳	$V_2O_5$
۳/۵	۶۳/۸	$2.9 \times 10^6$	۲۲۰	$V_2O_5:In\ 1\ at.\%$
۳/۳	۶۶/۹۹	$2.9 \times 10^6$	۲۳۱	$V_2O_5:In\ 20\ at.\%$
۳/۵	۶۳/۸	$2.9 \times 10^6$	۲۲۰	$V_2O_5:In\ 30\ at.\%$

است. مقاومت ویژه لایه‌ها نیز با حضور ایندیوم افزایش یافته

است که این را می‌توان به افزایش بینظمی نسبت داد.

#### مراجع

- [1] Xu Y., Schoonen M.A., “The absolute energy positions of conduction and valence bands of selected semiconducting minerals”, Am. Mineral. 85 (2000) 543-556.
- [2] Luo Z., Wu Z., Xu X., Du M., Wang T., Jiang Y., “Impact of substrate temperature on the microstructure, electrical and optical properties of sputtered nanoparticle  $V_2O_5$  thin films”, Vacuum 85 (2010) 145-150.
- [3] Ramana C.V., Hussain O.M., Srinvasulu Naidu B., Julien C., Balkanski M., “Physical investigations on electron-beam evaporated

#### برداشت

لایه‌های نازک نانوساختاری پنتاکسید وانادیوم خالص و آلایده با ایندیوم با درصدهای وزنی ۱۰٪، ۲۰٪ و ۳۰٪ در محلول به روش تجزیه گرمایی افسانه‌ای (اسپری پایرولیز) بر استر شیشه‌ای در دمای  $430^{\circ}C$  و غلظت محلول اولیه  $0.1\ mol/lit$  و آهنگ لایه‌نشانی  $5\ ml/min$  تهیه شدند. با استفاده از الگوهای پراش پرتو ایکس، تشکیل لایه‌های بسیار فاز  $\beta-V_2O_5$  با ساختار چارگوشی تایید شد. نتایج بررسی‌های ساختاری و ریزساختاری نشان داد که لایه‌ها از نانومیله‌ها و نانوتسممه‌های با قطر  $50-100\ nm$  تشکیل شده‌اند و افزایش ایندیوم منجر به افزایش بیننظمی و کاهش اندازه بلورک‌ها تا بیش از ۵۰٪ شده

- of pulsed-laser deposited V<sub>2</sub>O<sub>5</sub> Thin films”, J. Mater. Process. Technol.* **209** (2009) 2421–2427.
- [14] Yu D.M., Zhang S.T., Liu D.W., Zhou X.Y., Xie S.H., Zhang Q.F., Liu Y.Y., Cao G.Z., “Effect of manganese doping on Li-ion intercalation properties of V<sub>2</sub>O<sub>5</sub> films”, *J. Mater. Chemi.* **20** (2010) 10841-10846.
- [15] Jeyalakshmi K., Vijayakumar S., Purushothaman K.K., Muralidharan G., “Nanostructured nickel doped β-V<sub>2</sub>O<sub>5</sub> thin films for supercapacitor applications”, *Mater. Res. Bull.* **48** (2013) 2578-2582.
- [16] Jassim I. K., Rzaij J.M., Ali I. M., Ibrahim I. M., “Influence of Nd and Ce doping on the structural, optical and electrical properties of V<sub>2</sub>O<sub>5</sub> thin films”, *Iraqi J. Phys.* **14** (2016) 73-82.
- [17] Etemadi B., Mazloom J., Ghodsi F.E., “Phase transition and surface morphology effects on optical, electrical and lithiation/delithiation behavior of nanostructured Ce-doped V<sub>2</sub>O<sub>5</sub> thin films”, *Mater. Sci. Semicond. Process.* **61** (2017) 99-106.
- [18] Mousavi M., Khorrami Gh. H., Kompany A., Tabatabai Yazdi Sh., “Structural, optical and electrochemical properties of F-doped vanadium oxide transparent semiconducting thin films”, *Appl. Phys. A.* **123** (2017) 755(6).
- [19] Mousavi M., Kompany A., Shahtahmasebi N. and Bagheri Mohagheghi M. M., “Effect of S-doping on structural, optical and electrochemical properties of vanadium oxide thin films prepared by spray pyrolysis”, *Phys. Scripta* **88** (2013) 065701-065706.
- [20] Acosta D., Pérez A., Magaña C. and Hernández F., “V<sub>2</sub>O<sub>5</sub> thin films deposited by RF magnetron sputtering: the influence of oxygen content in physical properties”, *J. Mater. Sci. Eng. A* **6** (2016) 81-87.
- [21] Cullity B.D., “Elements of X-ray Diffraction”, Addison-Wesley Publishing Company Inc., California, 1956.
- [22] Iranmanesh P., Tabatabai Yazdi Sh., Mehran M., Saeednia S., “Superior magnetic properties of Ni ferrite nanoparticles synthesized by capping agent-free one-step coprecipitation route at vanadium pentoxide films” *Mater. Sci. Eng. B* **52** (1998) 32-40.
- [4] Bouzidi A., Benramdane N., Nakrela A., Mathieu C., Khelifa B., Desfeux R., and Da Costa A., “First synthesis of vanadium oxide thin films by spray pyrolysis technique”, *Mater. Sci. Eng. B* **95** (2002) 141-147.
- [5] Fujita Y., Miyazaki K., Tatsuyama C., Jpn., “On the electrochromism of evaporated V<sub>2</sub>O<sub>5</sub> films”, *J. Appl. Phys* **24** (1985) 1082-1086.
- [6] Adarsh Rag S., Shivaram Sh., Deena S., Richards E.J., Dhayal Raj A., Kumar S.V., Thiagarajan K., “Optical and structural properties of V<sub>2</sub>O<sub>5</sub> thin films Prepared by sol-gel dipping process”, *J. NanoSci. Nanotechnol* **1**(2012) 3-6.
- [7] Tamang R., Varghese B., Tok E.S., Mhaisalkar S., Sow C.H., “Sub-band gap energy photoresponse of individual V<sub>2</sub>O<sub>5</sub> nanowires”, *Nanosci. Nanotechnol. Lett* **4** (2012) 716-719.
- [8] Lu J., Hu M., Tian Y., Guo C., Wang C., Guo S., Liu Q., “Fast visible light photoelectric switch based on ultralong single crystalline V<sub>2</sub>O<sub>5</sub> nanobelt”, *Opt. Exp* **20** (2012) 6974-6979.
- [9] Zhan S., Wei Y., Bie X., Wang C., Du F., Chen G., Hu F., “Structural and electrochemical properties of Al<sup>3+</sup> doped V<sub>2</sub>O<sub>5</sub> nanoparticles prepared by an oxalic acid assisted soft chemicalmethod”, *J. Alloys Compd* **502** (2010) 92–96.
- [10] Coustier F., Passerini S., Smyrl W. H., “Dip-coated silver-doped V<sub>2</sub>O<sub>5</sub> xerogel hosts as cathode materials for lithium intercalation”, *J.Solid State Ionics* **100** (1997) 247–258.
- [11] Giorgetti M., Berrettoni M., Smyrl W.H., “Doped V<sub>2</sub>O<sub>5</sub>-based cathode materials: where does the doping metal go? An X-ray absorption spectroscopy study.”, *Chem. Mater* **19** (2007) 5991–6000.
- [12] Farcy J., Maingot S., Soudan P., Pereira-Ramos J.P., Baffier N., “Electrochemical properties of the mixed oxide Fe0.11V2O5.16 as a Li intercalation compound”, *Solid State Ionic* **99** (1997) 61–69.
- [13] Iida Y., Kanno Y., “Doping effect of M (M = Nb, Ce, Nd, Dy, Sm, Ag, and/or Na) on the growth

- [24] R.D. Shannon, "Revised effective ionic radii and systematic studies of interatomic distances in halides and chalcogenides", *Acta Crystallographica A*32 (1976) 751-767.
- [25] Sze S.M., "Physics of Semiconductor Devices", John Wiley and Sons New York (1981).
- different pH values", *Journal of Magnetism and Magnetic Materials* 449 (2018) 172-179.
- [23] Bagheri Mohagheghi M.M., Tabatabai Yazdi Sh., Mousavi M., "Transport, structural and optical properties of  $SnO_2$  transparent semiconductor thin films alloyed with chromium: Carrier type conversion", *J. Mater. Sci.: Mater. Electron.* 28 (2017) 13328-13335.